

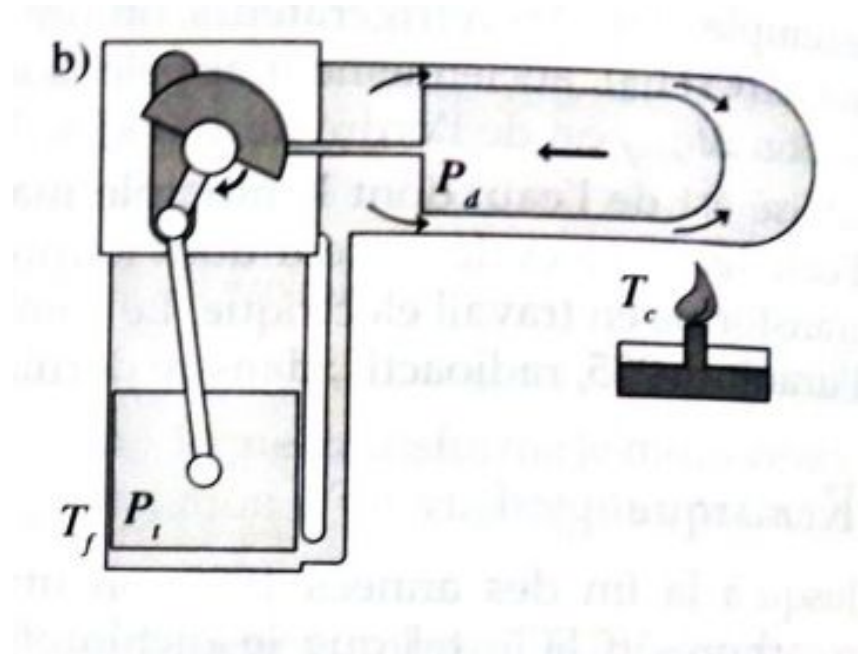
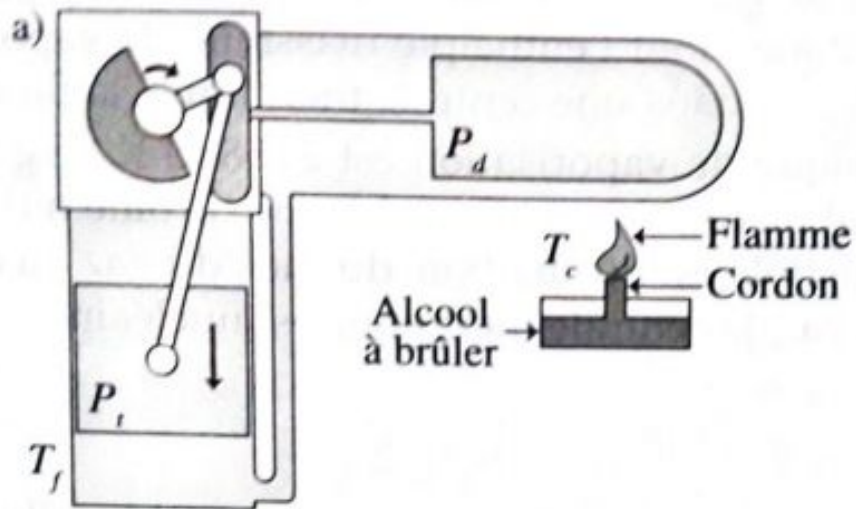
LP14 – Machines thermiques réelles

AGRÉGATION EXTERNE DE PHYSIQUE-CHIMIE, OPTION PHYSIQUE

Jules FILLETTE

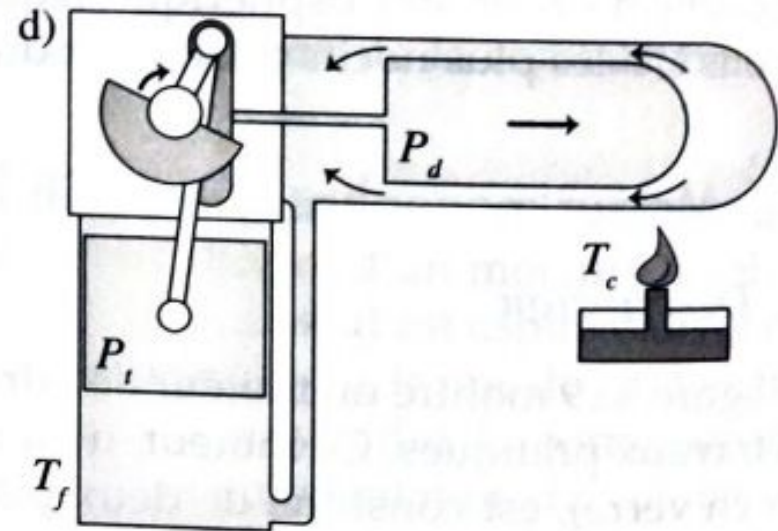
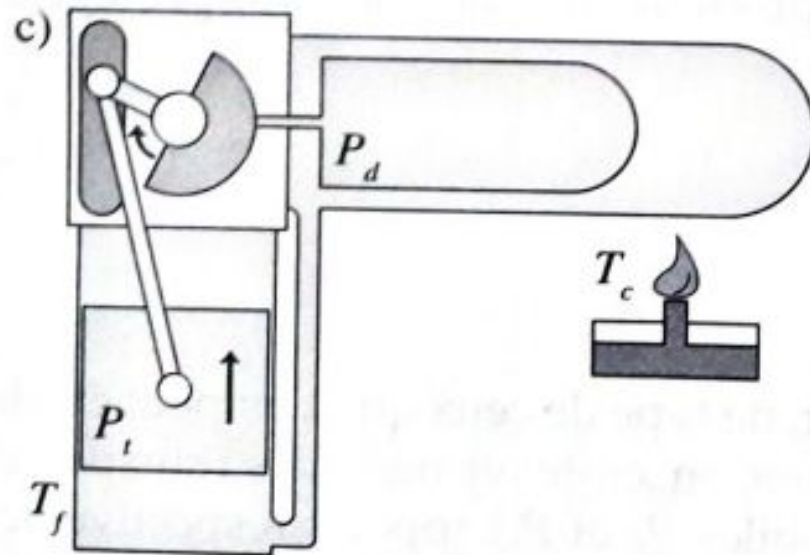
I. Illustration sur le cas simple d'une machine fermée

1. Cycle idéal, cycle réel



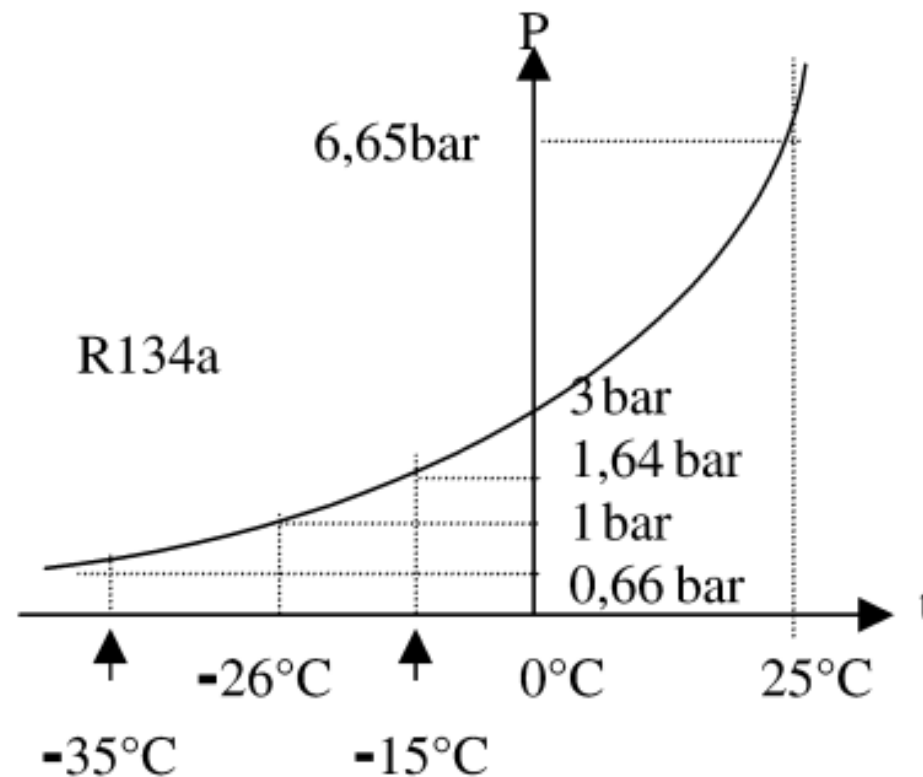
I. Illustration sur le cas simple d'une machine fermée

1. Cycle idéal, cycle réel



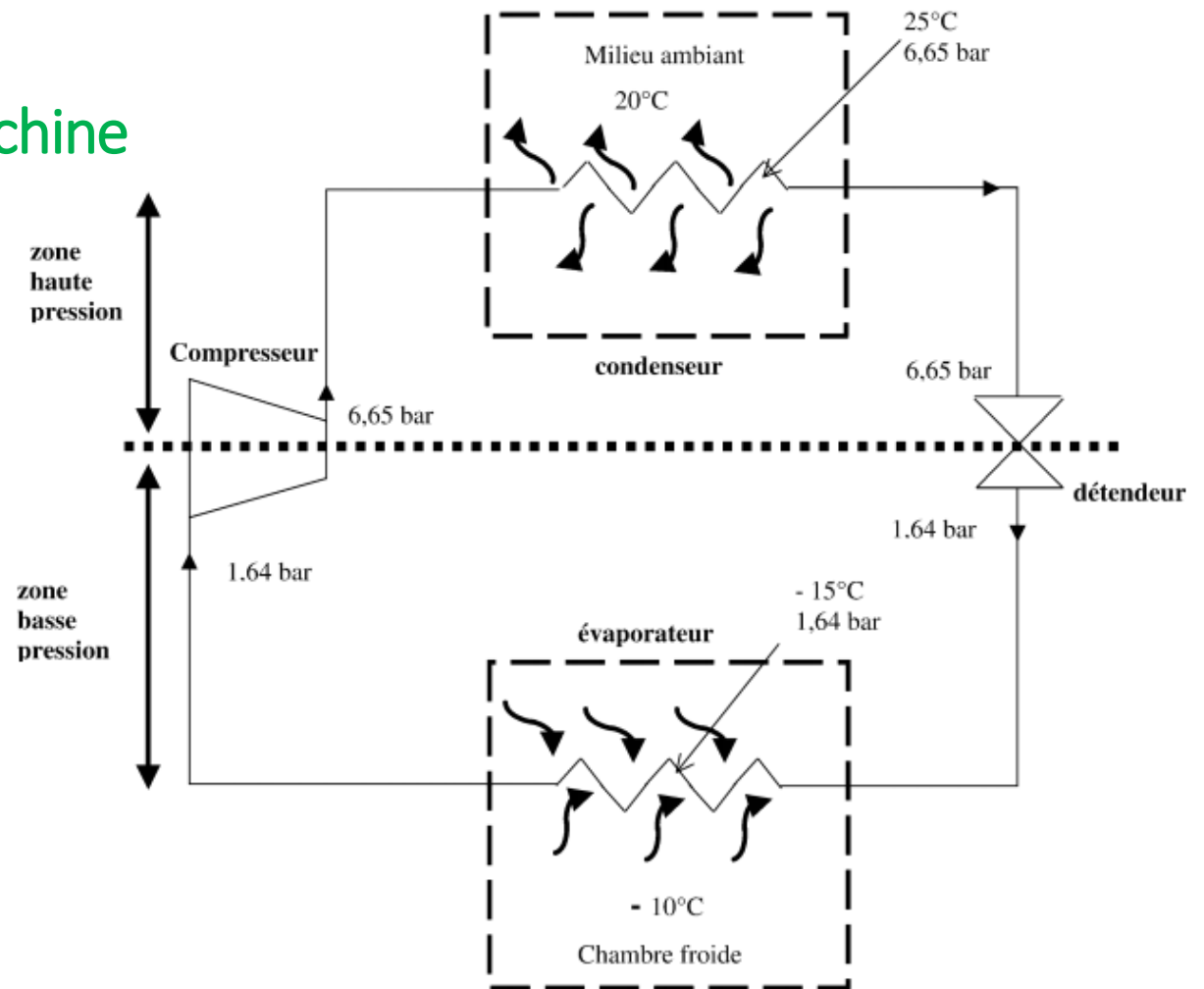
II. Etude d'une machine thermique en système ouvert

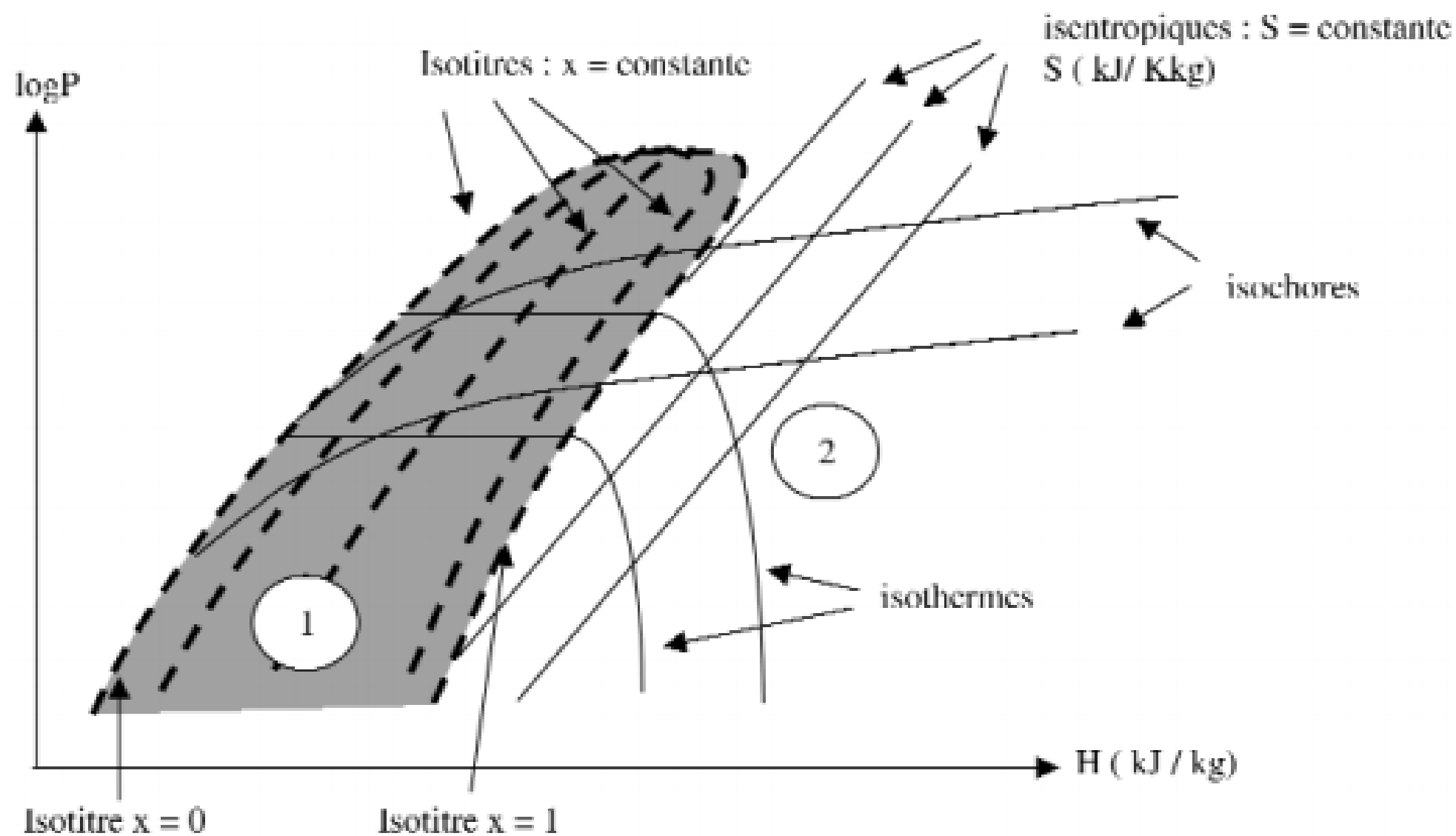
1. Présentation de la machine



II. Etude d'une machine thermique en système ouvert

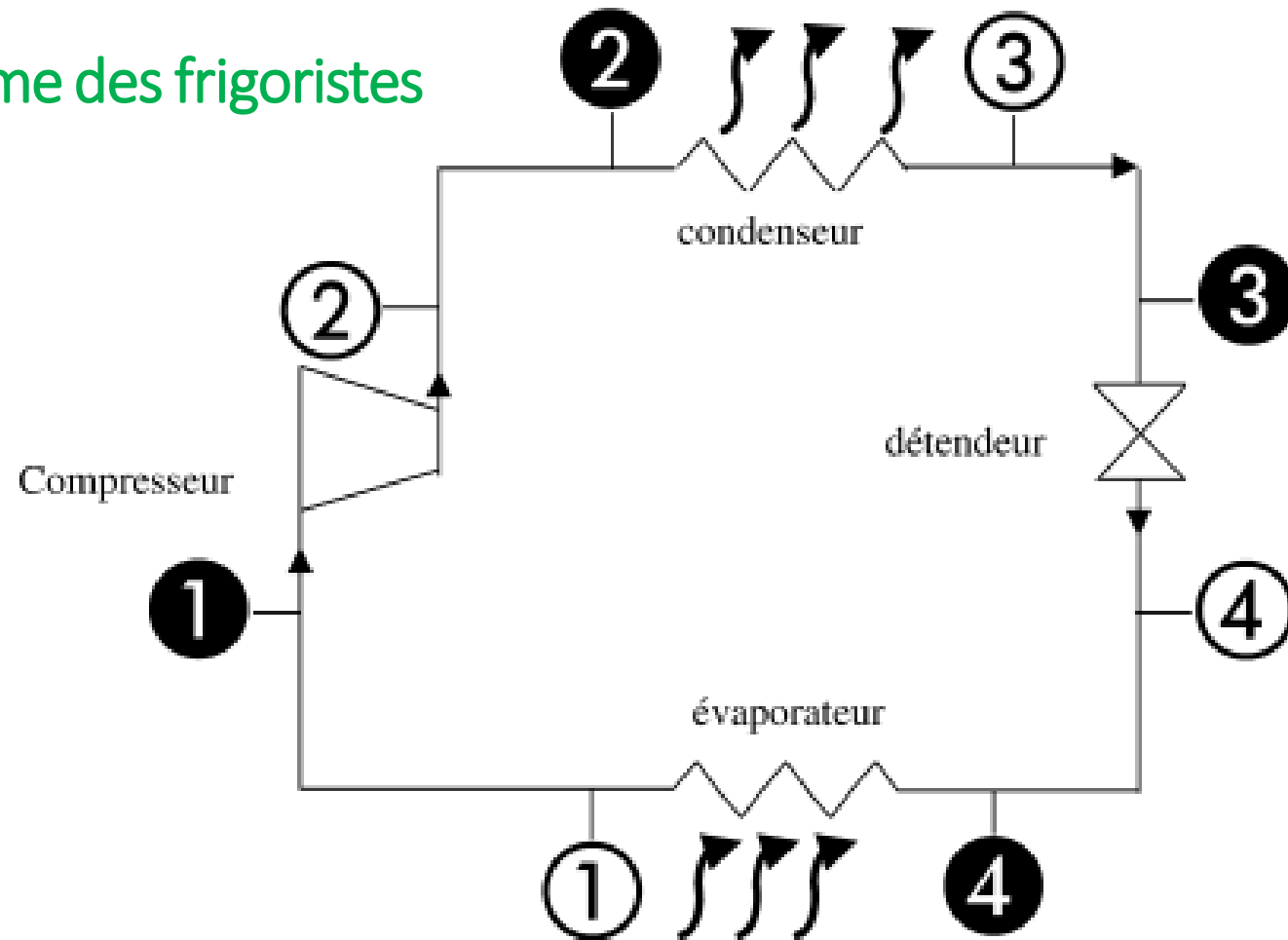
1. Présentation de la machine





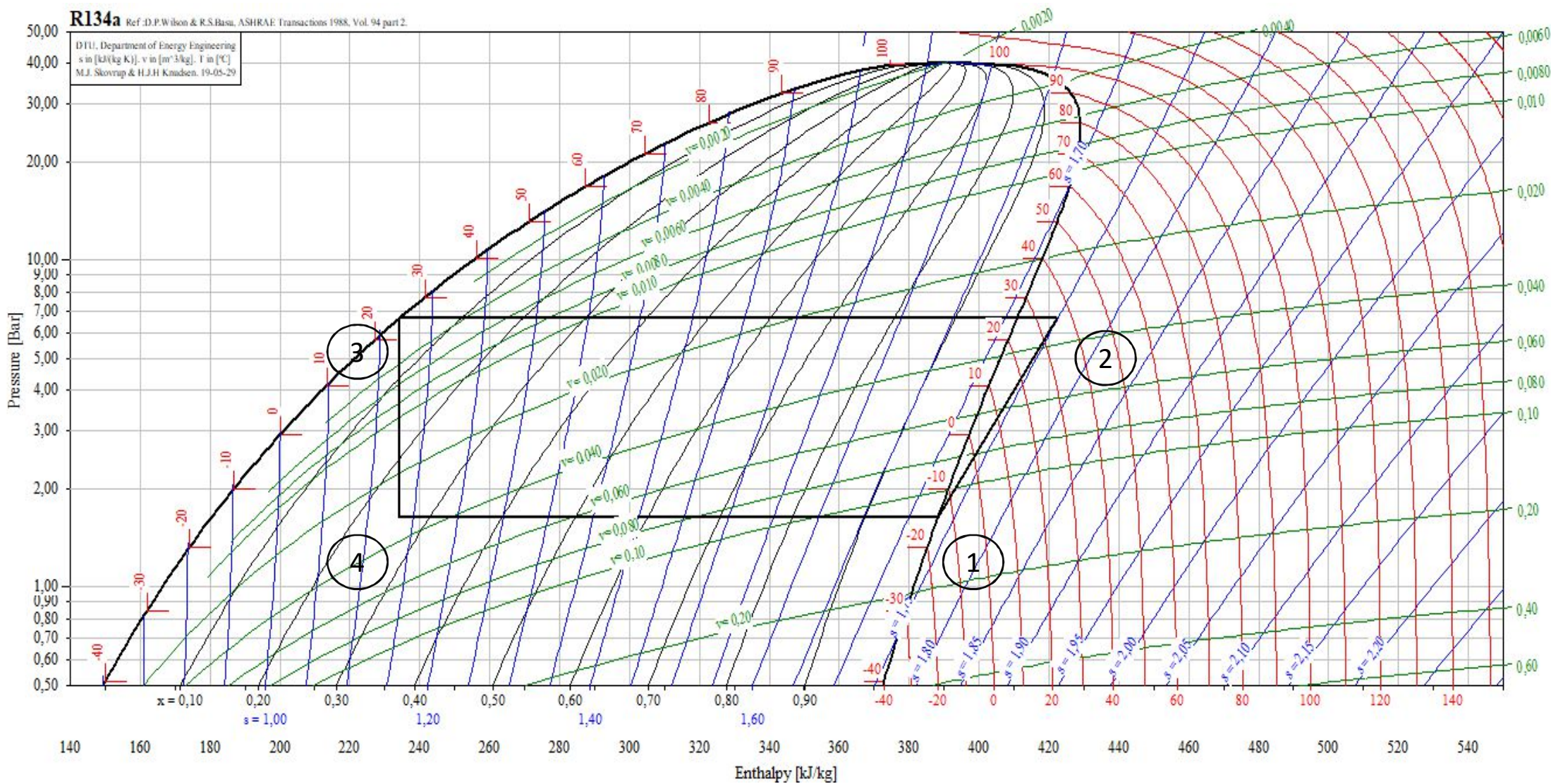
II. Etude d'une machine thermique en système ouvert

2. Diagramme des frigoristes



R134a Ref: D.P. Wilson & R.S. Basu, ASHRAE Transactions 1988, Vol. 94 part 2.

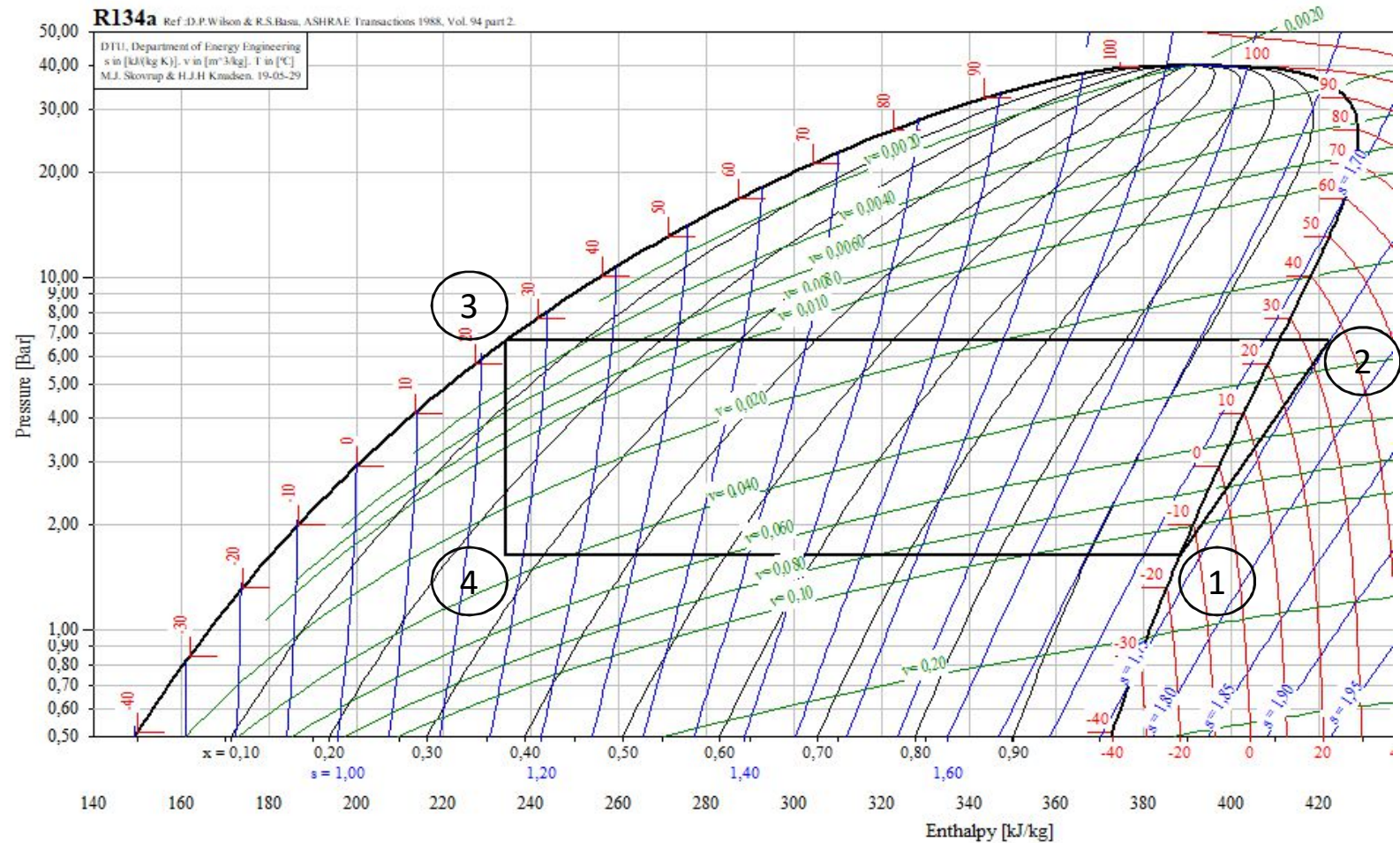
DTU, Department of Energy Engineering
 s in [kJ/(kg K)], v in [m³/kg], T in [°C]
 M.J. Skovrup & H.J.H. Knudsen, 19-05-29



II. Etude d'une machine thermique en système ouvert

2. Etudes énergétiques

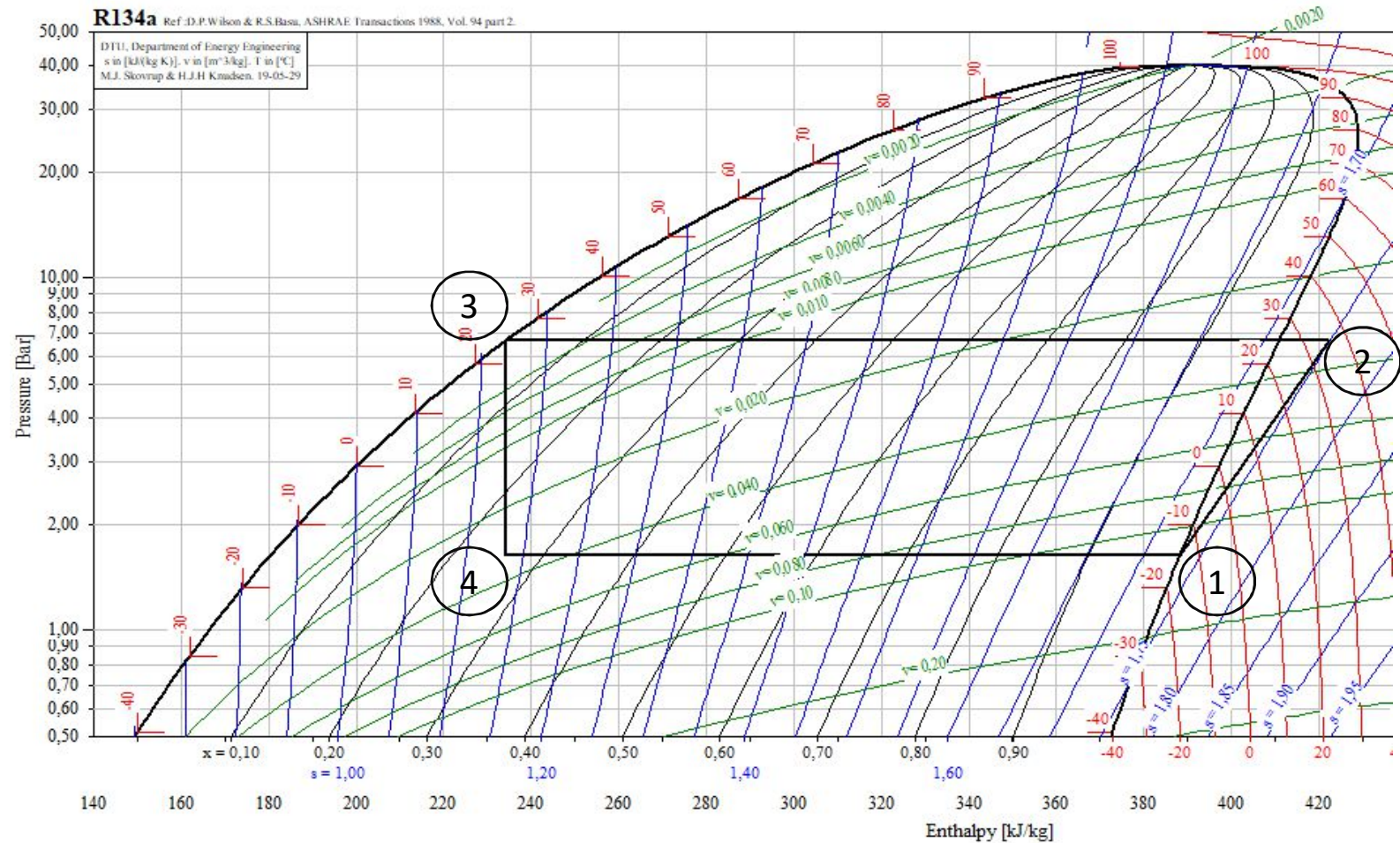
Points d'étude	enthalpie massique $\text{kJ} \cdot \text{kg}^{-1}$
1	388
2	422
3	234
4	234



II. Etude d'une machine thermique en système ouvert

2. Etudes énergétiques

Points d'étude	Entropie massique $\text{kJ} \cdot \text{K}^{-1} \cdot \text{kg}^{-1}$
1	1,73
2	1,75
3	1,11
4	1,14



II. Etude d'une machine thermique en système ouvert

2. Etudes énergétiques

